

■ 50 — 電 気 的 注 入 工 法

日本大学理工学部 正員 渡川美利
千代田化工建設 KK 正員 手嶋清
全上 正員 ○吉田泰治

I 概要：荒砂やレキのような粗粒地盤には、圧力注入法が採用され、間隙を充てん充、粒子間のコウ着を行ない充分な効果をあげている。(しかし、たとえば透水係数が $1 \times 10^{-6} \text{ cm/sec}$ 以下の細粒地盤を対象としては、圧力注入ではあまり大きな効果は期待できない。そこで全く別の構造による注入方式が考えられなければならぬが、電気的は方法はその目的にのみならず唯一の手段であるように思う。

II 電気的注入あるいは関連ある方法の分類
エネルギー源を直流電場に依存して、安定性の注入あるいは移動構造の違うものによって方法を分類すると下表のようになる。

方 法	原 理	特 長 と 欠 点
a) 電気浸透的注入	電気炉をE.O.に接続し、土中水頭差における電極の移動運動を利用。	<ul style="list-style-type: none"> 電気炉の水頭差をもつて電極をE.O.に接続する。 安定性の粗粒の地盤に適用性がある。
b) 電気泳動的注入	コロイド的に分散した電極を電気泳動運動で移動させる。	<ul style="list-style-type: none"> 電荷による分散度と運動速度がE.O.の注入速度によつて。 コロイド粒子の性質と運動範囲が問題となる。
c) 移動構造の方法	土に吸着しているもの、及び液相に電離している物質を移動させ、その導通性をもつ。	導通性がある土に吸着しているもの、及び液相に電離している物質を移動させ、その導通性をもつ。
	置換法	<ul style="list-style-type: none"> 電離のスルーパスをもつて移動運動による置換が可能となる。 ・イオン移動のための電解液を用いる。
2-0) 置換法	電離のスルーパスをもつて移動運動による置換が可能となる。	・イオン移動のための電解液を用いて注入する。
2-0) 重合法	電離に応じて電離(1から2を移動させ、土中に2から1を重合する)。	・電離によって電離(1から2を移動させ、土中に2から1を重合する)。

III 注入材の分類

前表に基づき分類すると右表のようになる。

IV Na_2SiO_4 を主体としたE.O.の注入実験。

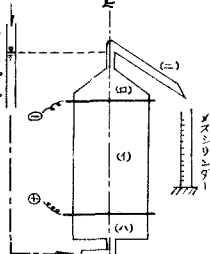
実験装置、および試験方法。

1) 測定容器： 図～1に示すよう(1)(2)(3)を接続して一體化し、浸透は下部より上向きに起し(2)を通じてメスシリンドラーに出す。

方 法	注入材	安定化材料
a) 電気浸透的注入り場合	珪酸カルシウム	電気的注入による水頭差のK ₁₂ とK ₁₁ の増加を防ぐために土粒子に対する接着剤を形成する。
b) 電気泳動的注入の場合	(i) アズカルトエマルジョン(特にカナベー系) (ii) ベントサイト(蒙脱土) (iii) 硅酸ゲル (iv) 塩酸ハイドロゲル	(i) アズカルトエマルジョンは、電場下で泳動し、土粒子に対する着目を増すことで粒度を増す。 (ii) 蒙脱土は電場下で泳動し、電場泳動によって活性化される。 (iii) 硅酸ゲルは電場下で泳動され、電場的注入が可能である。 (iv) 塩酸ハイドロゲルは土粒子の接着剤を形成する。
c) イオン移動の場合	(i) 硅酸カリウムと過炭酸カルシウム(重合法) (ii) 硅酸カルシウム(置換法)	(i) 硅酸カリウムと過炭酸カルシウムはGel E.O.を用いて注入される。また、 SiO_2 と CaCO_3 の電離によって、水溶性が高くなる。重合法は過炭酸カルシウムの重合化によって活性化される。 (ii) 硅酸カルシウム(置換法)は Ca^{2+} をエギン酸で置換し、主に吸着するアリオンとして置換し、蒙脱土を活性化させて活性化する。

2) 流出量、注入量測定：注入量は試料に動水勾配が生じないよう Stand Pipe 中で常に一定水位となるようビューレットより滴定してはまり、流出量は溢流液の量をメスシリンドラーにてはまる。圧力壇をうの時はマリオットフラスコを使用し、液の減量で注入量をはまる。

3) 電源および電極：電源は全波整流セレン整流器(最大出力 $100 \text{ W} \cdot 5^{\circ}$)を用い、電極にはニッケル多孔板と陽極、銅多孔板を陰極として使用。



(1) 硫酸カリウム試料円筒(内径 10 mm 長さ 5 cm)
(2) " " 流出漏斗液槽
(3) " " 入口管
(4) ガラスパイプ 溢流パイプ

4) 試料：標準砂に市販オリソ(40:30)を混ぜて人為的な粘土質砂を作り使用した。

5) Na_2SiO_4 の濃度：今実験に使用した Na_2SiO_4 の濃度は市販のものを $1/10$ に希薄し、それを注入液とした。

VI 実験結果の考察

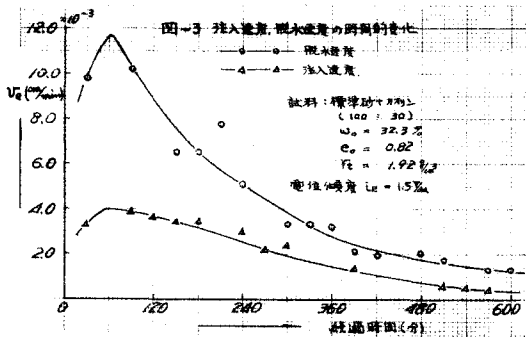
6) 注入状況の観察：注入状況の観察方法を次

の2方法とした。(1) Na_2SO_4 溶液を着色し、肉眼にて浸透状況を観察する。(2) 実験後コーンドリル注入により注入状況を観察する。等について述べるにとどめるが、試験の都合結果を統括して(2)一様に全面的に注入され上省略する。

(a) 電力消費量 12.00 kWh (1 m^3 当り) で電極間隔の $\frac{2}{3}$ 程度まで注入されており、特に $1/2$ の所までには、いちじるしく注入されている。(c) 注入量は大体において時間と共に減少していく。(図～2a, 2b, 2c, 3 を参照)

2) 注入速度: (a) $i_e = 1.5 \text{ %m}$ の平均注入速度は $5 \times 10^{-5} \text{ cm/sec}$ である。(b) 電場電位と注入透水係数は大体 $3 \times 10^{-5} \text{ cm/sec/cm}$ である。(c) 圧力 1 atm を併用した場合の平均注入速度は $i_e = 1.5 \text{ %m}$ で $7 \times 10^{-5} \text{ cm/sec}$ 、注入透水係数は $4 \sim 5 \times 10^{-5} \text{ cm/sec/cm}$ である。(図～3, 4 参照)

3) 注入と上中水の脱水との差、および平衡化、注入と脱水の差は電場電位が大きくなる程、大きくなると圧力を併用して平衡化をみる事はある程度可能であるが、今実験のままである圧力併用により平衡化は満足できない。



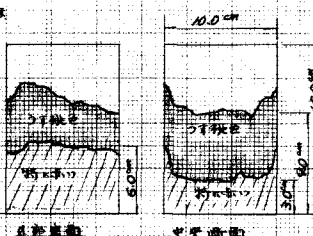
図～2a 買入後 Na_2SO_4 濃度

コーン先端角度 60° \rightarrow 光緑面積 0.705 cm^2
落射水量 200 ml 埋下高 5 cm



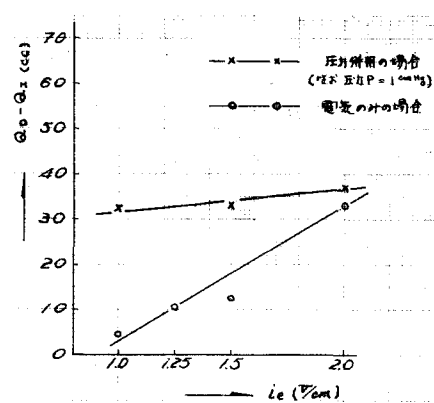
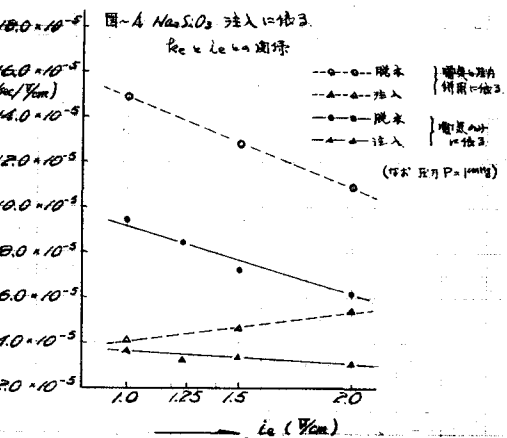
図～2b 浸透過程

試料: 標準砂土 (A3)
(100 : 30)
 $w_s = 32.2 \text{ %}$
 $e_s = 0.82$
 $f_s = 1.92 \text{ cm}$
電位強度 $i_e = 1.5 \text{ %m}$



図～2c 外部的肉眼による観察

注入状況と浸透時間との関係



図～5 Na_2SO_4 注入の脱水速度と
電位強度との関係